

## تحلیل AVO روی مخزن ماسه سنگی غار در میدان ابوزر واقع در

### شمال غرب خلیج فارس

هادی حاجی جمهوری<sup>۱</sup>، محمدعلی ریاحی<sup>۲\*</sup>، غلامحسین نوروزی<sup>۳</sup> و امیر شمسا<sup>۴</sup>

<sup>۱</sup> کارشناس ارشد مهندسی اکتشاف نفت، دانشکده مهندسی معدن، پردیس دانشکده های فنی، دانشگاه تهران

<sup>۲</sup> دانشیار، گروه فیزیک زمین، مؤسسه زموفیزیک دانشگاه تهران، ایران

<sup>۳</sup> دانشیار، دانشکده مهندسی معدن، پردیس دانشکده های فنی، دانشگاه تهران

<sup>۴</sup> کارشناس ارشد مهندسی اکتشاف نفت، شرکت نفت فلات قاره ایران

(دریافت: ۱۲/۰۹/۰۸، پذیرش نهایی: ۲۴/۱۲/۰۸)

#### چکیده

تحلیل AVO امروزه روشی معیّر و مفید برای تشخیص هیدرولکرین‌ها است. با استفاده از ارتباط دامنه در برابر دورافت و روابط روپریتس و تقریب‌های آن می‌توان نشانگرهای متفاوتی استخراج کرد تا به کمک آنها محدوده‌های مخزنی از لحاظ شاره و سنگ‌شناسی تفکیک شود.

در این مقاله تحلیل AVO روی مخزن ماسه سنگی غار در میدان ابوزر واقع در خلیج فارس صورت گرفته است. با کمک روش‌های تحلیل AVO شامل مدل‌سازی مستقیم، مدل‌سازی جانشینی شاره، بررسی نشانگرهای کراس‌پلات‌های AVO در محدوده مخزن، شاره‌های متفاوت تفکیک شده است و نتایج بدست آمده، کارایی این روش را بهمنزله روشی جامع برای اکتشاف مخازن ماسه سنگی با هیدرولکرین سیک نشان می‌دهد. این تحقیق با استفاده از داده‌های چاپی‌مایی و سری داده‌های دریایی دو بعدی قبل از برآنبارش، صورت گرفته است.

واژه‌های کلیدی: تغییر دامنه با دورافت، مدل‌سازی مستقیم، مدل‌سازی جانشینی شاره، نشانگر لرزه‌ای، کراس‌پلات

## AVO analysis in Ghar Sand Stone Reservoir in Aboozar Oil field located in North-West of Persian Gulf

Haji Jomhouri, H.<sup>1</sup>, Riahi, M. A.<sup>2</sup>, Norouzi, G.<sup>3</sup> and Shamsa, A.<sup>4</sup>

<sup>1</sup> M.Sc. in Oil Exploration, Mining Faculty of Engineering, University of Tehran, Iran

<sup>2</sup> Associate Professor, Earth Physics Department, Institute of Geophysics, University of Tehran, Iran

<sup>3</sup> Associate Professor, Mining Faculty of Engineering, University of Tehran, Iran

<sup>4</sup> M.Sc. in Oil Exploration, Iranian Offshore Oil Company

(Received: 22 Feb 2011, Accepted: 15 March 2011)

#### Abstract

AVO theory was introduced around 20 years ago. In recent years, this technique was become to a major tool in hydrocarbon sources exploration. By the help of this method with the suitable understanding from underground layers and knowing how to use this technology, quantitative specifications of reservoir can be recognized.

AVO analysis is a seismic technique that by using of pre-stack data, establish the presence of hydrocarbon in reservoir. Three basic physical parameters used in seismic interpretation are density, P-wave velocity and S-wave velocity. For applying AVO technique, having a correct understanding of this parameters is required.

**Introduction:** Zoeppritz equations determine Reflection and Transmission Coefficients as a function of Incidence angle, but these equations don't show how amplitude variations change with rock physical parameters truly. Zoeppritz equations approximations are simpler and more general respect to real equations. Some famous approximations for Zoeppritz equations are Aki, Richards & Fraiser (1980), Shuey and Fatti et al.

approximations. With the help of these approximations some variable attributes can be extracted.

**Ghar reservoir characterizations in Aboozar oil field:** Aboozar oil field is located in North-West of Persian Gulf and is 75 KM far from east of Khark Island. This field was explored in recent 1950s and its production was started in 1976. The main hydrocarbon producer layer in this field is Ghar sand stone reservoir with Oligo-Miocene age. It has an anticline structure and is alongside in north-west south-east direction. Its depth is between 820 to 880 meters. This sand stone layer is corresponded to Ahvaz sand stone member in Asmari formation.

**AVO analysis in Ghar sand stone reservoir:** In this paper, different techniques that are involved in AVO analysis such as Forward Modeling, Fluid Replacement Modeling (FRM), various attribute extraction and X-Plot techniques are applied in Ghar sand stone reservoir to investigate the ability of AVO method for detection of light hydrocarbon in north-west of Persian Gulf. This study was done over a seismic line crossing a well in Aboozar Field. Some well logs data that are required for Forward Modeling in this well were available such as Density, P-wave and S-wave logs.

**Forward Modeling:** AVO modeling applied for investigation of Amplitude Versus Offset (AVO) variations and detection of parameters that produce these variations. With the help of available logs and by usage of Zoeppritz equations and Ray Tracing, synthetic seismogram in the well was produced. After producing of primary synthetic seismogram, significant reflections on real seismic data and synthetic seismogram were compared. By Forward Modeling the time-depth curve of the well was modified and seismic data were calibrated. Then on the produced synthetic seismogram in upper boundary of Ghar sand stone reservoir, AVO curve that show variations of Reflection Coefficients versus Offsets was extracted. This curve shows that AVO anomaly from upper boundary of Ghar sand stone reservoir is a class IV type which has a positive Gradient (B) and negative Intercept (A). Class IV type is corresponded to a gas sand stone with low Acoustic Impedance. Amplitudes were decrease versus offset in upper part of the reservoir.

**Fluid Replacement Modeling (FRM):** In this step, to verify AVO anomalies from Ghar reservoir, FRM was applied in the well area to satisfy anomalies related to fluid and mostly affected by gas. With the help of FRM, the best attributes for identification of Ghar reservoir upper boundary were distinguished. These attributes are related mostly to intergranular fluid. The base of FRM is Gassmann equation. For this purpose, 3 logs (P-wave velocity, S-wave velocity and density) in 3 fluid situations (real situation, 100% water saturation and 80% gas - 20% water saturation) were calculated and synthetic seismograms were produced.

**AVO attributes study in seismic data:** The time-sections of AVO attributes were extracted for real seismic data to use them for identification of AVO anomalies. Some of attributes are Gradient (B), Intercept (A), S-wave Reflection Coefficient ( $R_s$ ), P-wave Reflection Coefficient ( $R_p$ ) and Poisson Ratio Variations ( $\Delta\sigma$ ). From extracted attributes, Intercept (A) and Poisson Ratio Variations ( $\Delta\sigma$ ) attributes show the reservoir area more accurate. Also Poisson Ratio Variations ( $\Delta\sigma$ ) section has most variations in upper boundary of Ghar reservoir and identify the reservoir area more precise. On the Gradient (B) attribute section, the upper boundary of Ghar sand stone has negative values and by the help of Intercept (A) and Gradient (B), the type of AVO anomaly was distinguished.

#### X-Plot techniques

**(a) Intercept (A) versus Gradient (B) X-Plot by synthetic seismogram from well data**  
Intercept versus Gradient X-Plot can be used for interpretation of AVO analysis. It is a

technique for classification of AVO responses and hydrocarbon sediment identification. By usage of rock physic parameters, AVO modeling and X-plot technique, AVO anomalies polarity can be analyzed. X-plot technique was applied for separation of reservoir fluids on real seismic data and synthetic seismogram from well data. A 100 mille-second window was considered on the synthetic seismogram at the Ghar reservoir area to use its related points in producing X-Plot Intercept versus Gradient. In the resulted X-Plot, most of points show a wet trend (in direction of second & fourth quarter). The rest points which are trended toward first and third quarter show the hydro carbon section.

#### (a) Intercept (A) versus Gradient (B) X-Plot by real seismic data

The X-Plots are powerful technique for separation of different zones with different fluid content and lithology. To obtain more accurate results and determine precise boundaries of reservoir, the X-Plot were done on the seismic line between 200 and 300 X-lines. The mentioned X-Plot was produced in a 150 mille-second window which is symmetric to 750 mille-second time limit (time limit of upper boundary of Ghar sand stone). This X-Plot enables us to separate reservoir section. According to obtained points, three zones were determined as bellow:

- Water zone trended to bisector of first and third quarters.
- First hydrocarbon zone in upper part of reservoir.
- Second hydrocarbon zone in lower part of reservoir and top of water zone.

Results obtained from this X-Plot are best-correlated to results of well seismogram X-Plot.

**Conclusion:** The purpose of this paper is identification of AVO method abilities in exploration of hydrocarbon reservoirs using pre-stack seismic data at north-west areas of Persian Gulf. The results of this study truly reveal these abilities. For this purpose, synthetic seismogram of well logging data produced for Aboozar oil field using Forward Modeling and with the help of that the reason of observed anomalies on pre-stack seismic data was detected at the upper boundary of Ghar reservoir. With producing AVO curve, the related anomaly type which is class IV, was determined. In this step, the time-depth curve was corrected by matching well and seismic data and the seismic data were calibrated.

In Forward Modeling step, well logging data were produced synthetically using Fluid Replacement Modeling (FRM) and with the help of synthetic seismogram and extraction of different attributes in 3 different fluids situations (real situation, 100% water saturation and 80% gas - 20% water saturation), the most suitable fluid affected attributes, which are able to distinguish the upper boundary of Ghar reservoir, were determined. These attributes are as following: Intercept (A) attribute, attribute of Poisson Ratio Variations ( $\Delta\sigma$ ), attribute of P-wave Reflection Coefficient and A $\times$ Sign (B) attribute.

In this study, AVO attributes were extracted from real seismic data using different methods. The most suitable attributes which enable us to distinguish reservoir boundaries were determined and a suitable correlation observed between these attributes and results obtained from Forward Modeling. With the help of different attributes, X-Plots of Intercept (A) versus Gradient (B) were produced in reservoir area. By usage of these plots, hydrocarbon limited area was separated in lower and upper sections of reservoir which had a well matching comparison to results obtained from X-Plot of Intercept (A) versus Gradient (B) of synthetic seismogram in reservoir area.

**Key words:** Amplitude versus offset, Forward Modelling, Fluid Replacement Modelling, Seismic attributes, Cross Plot

## ۱ مقدمه

غرب خلیج فارس است که این بررسی روی مخزن ماسه‌سنگی غار در میدان ابوذر صورت گرفته است.

### ۲ تعریف

معادلات زوپریتس ضرایب بازتاب و عبور موج را به صورت تابعی از زاویه تابش مشخص می‌کنند، ولی این معادلات چگونگی تغییرات دامنه با تغییر پارامترهای فیزیکی سنگ را به درستی نشان نمی‌دهند. تقریب‌های معادلات زوپریتس نسبت به معادلات کلی، ساده‌تر و عمومی‌تر هستند. از جمله تقریب‌های مشهوری که برای معادله زوپریتس عرضه شده، تقریب آکی ریچاردز و فریزر (۱۹۸۰)، تقریب شوی (۱۹۸۵) و تقریب فاتی و همکارانش (۱۹۹۴) است. به کمک این تقریب‌ها نشانگرهای متفاوتی استخراج می‌شود.

### ۳ رده‌بندی پاسخ‌های AVO

رادرفورد و ویلیامز (۱۹۸۹) براساس نحوه تغییرات ضریب بازتاب و دامنه نسبت به دورافت، سه رده متفاوت برای موز بالایی یک ماسه گازدار در نظر گرفتند. کاستاگنا (۱۹۹۷) نیز رده چهارمی را پیشنهاد کرد که در آن ضریب بازتاب منفی بود و با افزایش دورافت، بیشتر می‌شد. رده‌بندی ماسه‌های گازی در شکل ۱ نشان داده شده است. قسمت الف مربوط به سه رده اول، دوم و سوم رادرفورد و ویلیامز و قسمت ب مربوط به رده چهارم کاستاگنا است که در آنها نحوه تغییرات دامنه و ضریب بازتاب با دورافت مشخص است.

### ۴ نشانگرهای AVO

نشانگرهای پارامترهایی هستند که با روابط متفاوت استخراج می‌شوند و هر کدام قابلیت‌های خاص خود را دارند. برخی از آنها در تشخیص شاره و برخی در تشخیص سنگ‌شناسی توانایی بیشتری دارند. رایج ترین نشانگرهای عبارت اند از:

نظریه AVO از حدود بیست سال پیش معرفی شده است. در سال‌های اخیر، این روش به یک ابزار اصلی در اکتشافات منابع هیدروکربوری تبدیل شده است. به کمک این روش با داشتن درک مناسبی از لایه‌های زیرزمین و دانستن چگونگی به کارگیری این فناوری می‌توان خصوصیات کمی مخزن را مشخص کرد. (راسل، ۲۰۰۳) تحلیل AVO فنی لرزه‌ای است که با استفاده از داده‌های پیش از برانبارش (Pre-Stack)، وجود هیدروکربین در مخزن را مشخص می‌کند. سه پارامتر فیزیکی اساسی که در تفسیر داده‌های لرزه‌ای به کار می‌رود عبارت‌اند از چگالی، سرعت موج P و سرعت موج S. برای استفاده از فن AVO، داشتن درک درستی از این پارامترها ضروری است. (راسل، ۲۰۰۳)

زوپریتس در ۱۹۱۹ و نات در ۱۸۹۹ تحقیقاتی را به انجام رساندند که نتیجه آن معادلاتی در مورد بازتاب و شکست امواج کشسان همساز (Harmonic) در مرز بین دو جامد کشسان همگن و همسانگرد بود. اولین کارها به منظور درک این معادلات و درک بازتاب‌های لرزه‌ای را موسکات و مرس در ۱۹۴۰ عملی ساختند. آنها نتیجه گرفتند که انرژی بازتابی از سطوح متفاوت کشسان، با افزایش زاویه تابش، کاهش خواهد یافت. (کولمب، ۱۹۹۳)

تفکیک انرژی یک موج فرودی به یک سطح بازتابی را می‌توان با چندین دسته معادلات نشان داد که نسبت دامنه امواج فرودی به بازتابی را محاسبه می‌کنند. معادلات زوپریتس به توصیف جایه‌جایی ذرات می‌پردازد. حل معادله زوپریتس برای یک بازتابنده خاص به تفاوت میان سرعت موج برشی، سرعت موج تراکمی و چگالی هر دو محیط وابسته است. (کاستاگنا و همکاران، ۱۹۹۳)

هدف از نگارش این مقاله، بررسی توانایی روش AVO در تشخیص هیدروکربین‌های سبک در منطقه شمال

بمانند. این نشانگر اغلب برای تشخیص هیدروکربور نامناسب است، چرا که فقط وقتی که تقاطع و گرادیان هر دو منفی باشد مثبت و کارآمد است؛ بنابراین اغلب در تشخیص بی‌هنجری رده نوع سوم به کار می‌رود.

$$1-7 \quad \text{نشانگر} \left( \frac{A-B}{2} \right)$$

این نشانگر معادل نشانگر ضریب بازتاب نرمال موج برشی است (معادله ۱).

$$\frac{A-B}{2} = RS_0 \quad (1)$$

به طوری که:  $RS_0$ : ضریب بازتاب نرمال موج برشی

$$2-7 \quad \text{نشانگر} \left( \frac{A+B}{2} \right)$$

با توجه به معادله (۱) این نشانگر می‌تواند تقریب مناسبی از تفاوت ضریب بازتاب موج تراکمی و برشی باشد (معادله ۲). این نشانگر اغلب در مرزینین شیل به ماسه‌گازی منفی است و کارآیی آن بیشتر در ماسه‌های گازی با سرعت موج تراکمی کم می‌باشد. از مزایای این نشانگر نسبت به نشانگرهای دیگر این است که اغلب برای ماسه‌های گازدار نسبت به ماسه‌های آبدار دارای مقدار منفی‌تری است و ممکن است برای ماسه‌های گازی مثبت، صفر یا منفی باشد.

$$\frac{A+B}{2} = Rp_0 - RS_0 \quad (2)$$

به طوری که:  $Rp_0$ : ضریب بازتاب نرمال موج تراکمی

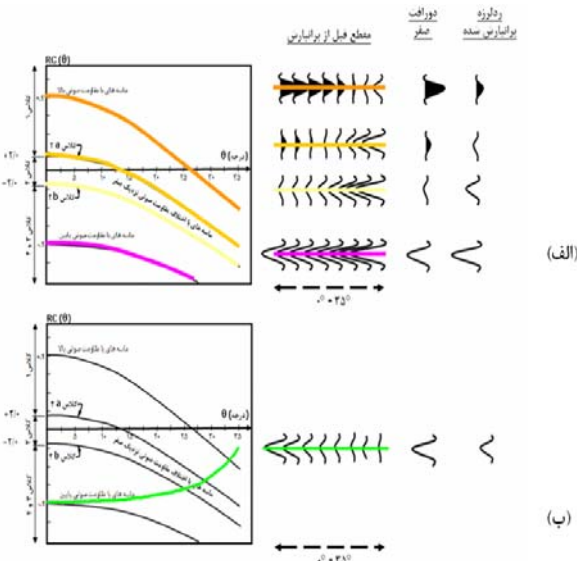
### ۸ نشانگر تغییر نسبت پواسون

ضریبی از  $A+B$  با توجه به ساده‌سازی‌های معادله خطی شوی (۱۹۸۵) می‌تواند بیانگر تغییرات نسبت پواسون باشد (راسل، ۲۰۰۳). گرادیان با استفاده از معادله خطی شوی به صورت معادله (۳) نوشته می‌شود.

$$B = Rp_0 A_0 + \frac{\Delta\sigma}{(1-\sigma)^2} \quad (3)$$

### ۵ نشانگر تقاطع (A) (Intercept)

این نشانگر تقریبی از ضریب بازتاب نرمال است که روی مقطع برانبارش معمولی نشان داده می‌شود.



شکل ۱. رده‌های متفاوت ماسه‌های گازدار و نحوه تغییرات دامنه و ضریب بازتاب با دورافت. (الف) مربوط به سه رده اول رادرفورد و ویلیامز. (ب) رده چهارم کاستاکنا.

### ۶ نشانگر گرادیان (B) (Gradient)

این نشانگر مقدار گرادیان AVO را برای هر نقطه میانی مشترک نشان می‌دهد. تغییرات گرادیان وابستگی زیادی به تغییرات نسبت پواسون در بازتابنده دارد. این نشانگر به تنهایی نمی‌تواند نشان‌دهنده تغییرات دامنه با دورافت باشد از این‌رو می‌باید با نشانگر تقاطع به صورت ترکیبی مورد استفاده قرار گیرد. ماسه‌های گازدار دارای گرادیان و تقاطع منفی تری نسبت به ماسه‌های آبدار هستند. (رادرفورد و ویلیام، ۱۹۸۹)

### ۷ نشانگر حاصل ضرب تقاطع در گرادیان (A\*B)

این نشانگر از حاصل ضرب نشانگر تقاطع در گرادیان حاصل می‌شود. در مواردی که ضریب بازتاب نرمال، منفی و گرادیان نیز منفی باشد، پاسخ به صورت مثبت ظاهر می‌شود. (بی‌هنجری AVO رده نوع سوم). پدیده‌هایی با دامنه فرود نرمال ضعیف ممکن است در این مقاطع پنهان

بنابراین، فاکتور شاره  $\Delta F$  به صورت زیر تعریف می‌شود:

$$\Delta F = Rp - 1.16(Vs/Vp)Rs \quad (10)$$

- اگر لایه‌های بالا و پایین مرز بازتابش روی خط گل-سنگ قرار گیرند،  $\Delta F = 0$  است. ولی اگر یکی از لایه‌ها شیل یا ماسه اشباع از آب و لایه دیگر ماسه گازدار باشد، ماسه گازدار اندکی در خارج از خط قرار می‌گیرد و در این حالت  $\Delta F$  صفر نخواهد بود. بنابراین می‌توان  $\Delta F$  که مقدار در مرز بالایی و پایینی ماسه‌های گازدار صفر نیست.

#### ۱۰ مشخصات مخزن غار، میدان نفتی ابوذر

میدان نفتی ابوذر در شمال غرب خلیج فارس و در ۷۵ کیلومتری شرق جزیره خارک واقع شده است (شکل ۲). این میدان در اوایل دهه ۵۰ میلادی مورد اکتشاف قرار گرفت و سرانجام در ۱۹۷۶ کار تولید از آن آغاز شد. افق اصلی تولید کننده نفت در این میدان مخزن ماسه‌سنگی غار با سن الیگو-میوسن است که به صورت یک تاقدیس با امتداد شمال غرب-جنوب شرق بین عمق تقریبی ۸۲۰ تا ۸۸۰ متر واقع شده است. این بخش ماسه‌سنگی معادل بخش ماسه‌سنگی اهواز در سازند آسماری است (ژئوسیستم جی سون).



شکل ۲. موقعیت میدان ابوذر در حوزه خلیج فارس (ژئوسیستم جی سون).

$$A_0 = C - 2(1+C)\frac{1-2\sigma}{1-\sigma} \quad \text{به طوری که:}$$

$$C = \frac{\Delta Vp/Vp}{\Delta Vp/Vp + \Delta \rho / \rho}$$

$\Delta \sigma$  تغییرات نسبت پواسون در بازتابنده و  $\sigma$  میانگین نسبت پواسون دو محیط است. اگر نسبت  $Vp/Vs$  برابر ۲ باشد می‌توان گرادیان را به شکل ساده معادله (۴) نوشت.

$$B = -Rp_0 + \frac{4}{9}\Delta\sigma \quad (4)$$

همچنین معادله (۴) را می‌توان بر حسب تغییرات نسبت پواسون نوشت.

$$\Delta\sigma = \frac{A+B}{2.25} \quad (5)$$

#### ۹ نشانگر فاکتور شاره

مفهوم فاکتور شاره توسط اسمیت و گیدلو در ۱۹۸۷ به منظور تشخیص ماسه‌های گازدار عرضه شد. ماسه‌ها و سنگ‌های سیلیسی (Siltstone) اشباع از آب و شیل در مقطع کراس‌پلات  $Vp$  نسبت به  $Vs$  تقریباً روی خط گل سنگ قرار می‌گیرند، در حالی که ماسه‌های اشباع از گاز، سرعت موج تراکمی کمتر و تا حدودی سرعت موج برشی بیشتری دارند و از این‌رو در زون گازدار قرار می‌گیرند (راسل و همکاران، ۲۰۰۱). ماسه‌های با تخلخل زیاد در قسمت سرعت کم و ماسه‌های با تخلخل کم در قسمت سرعت زیاد قرار می‌گیرند (کاستاگنا و سوان، ۱۹۹۷). به طور تجربی معادله خط گل سنگ و مشتق آن را به صورت زیر پیشنهاد داده‌اند.

$$Vp = 1360 + 1.16Vs \quad (6)$$

$$\Delta Vp = 1.16\Delta Vs \quad (7)$$

که می‌تواند به صورت زیر تغییر کند.

$$(\Delta Vp / 2V) = 1.16(Vs / Vp)(\Delta Vs / 2Vs) \quad (8)$$

$$Rp - 1.16(Vs / Vp)Rs = 0 \quad (9)$$

معادله (۹) فقط در طول خط گل-سنگ صحیح است،

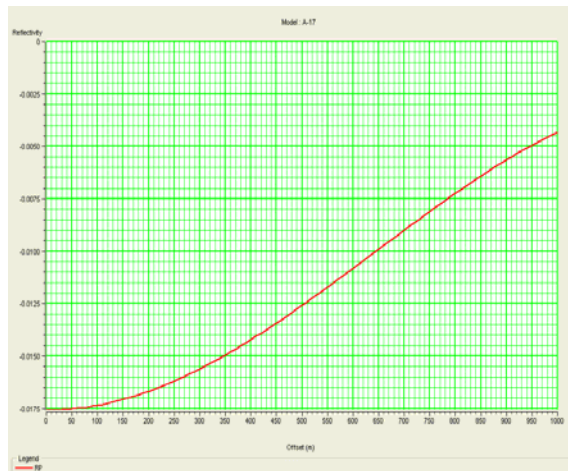
مصنوعی مجدد تولید می‌شود (شکل ۴). لرزه‌نگاشت مصنوعی در این مرحله تطابق بیشتری با داده لرزه‌ای واقعی دارد. ضریب تطابق در این مرحله به بیش از ۸۵ درصد می‌رسد (شکل ۵). با مدل‌سازی مستقیم منحنی زمان-عمق چاه تصحیح می‌شود و داده‌های لرزه‌ای و اسننجی (کالایره) می‌شود. در ادامه، روی لرزه‌نگاشت مصنوعی ایجاد شده در مرز بالای ماسه‌سنگ غار، منحنی AVO که تغییرات ضریب بازتاب را نسبت به دورافت نشان می‌دهد، استخراج می‌شود. منحنی مربوط نشان می‌دهد که ناهنجاری AVO مرز بالای ماسه‌سنگ غار از نوع رده چهارم است؛ یعنی دارای گرادیان مثبت و تقاطع منفی است (شکل ۶). رده نوع چهارم متناظر با ماسه حاوی گاز با امپدانس صوتی کم است. دامنه‌ها در افق بالای مخزن با دورافت کم می‌شوند. شکل ۷ ناهنجاری AVO در مرز بالای ماسه‌سنگ غار را روی CDP واقعی در محل چاه که به صورت تغییرات دامنه نسبت به زاویه مرتبت شده است، نشان می‌دهد. همان‌گونه که در شکل مشخص است، روی CDP واقعی نیز دامنه‌ها با افزایش زاویه برخورد کاهاش می‌یابند که این دلیلی بر ناهنجاری AVO رده نوع چهارم است. در این تصویر قطیدگی CDP مربوط به داده لرزه‌ای واقعی در محل چاه معکوس شده است تا مرز بالای ماسه‌سنگ غار به صورت گودی مشخص شود. لازم به ذکر است که سرعت موج P در محدوده مخزن غار با استفاده از نگار چاه‌پیمایی حدود ۱۲۰۰ متر بر ثانیه است. همچنین بسامد غالب مربوط به موجک استخراج شده به روش همبستگی چاه و داده لرزه‌ای، حدود ۵۰ هرتز است. طول موج محاسبه شده برابر ۲۴ متر است که با توجه به ضخامت مخزن غار (حدود ۶۰ متر)، داده‌های لرزه‌ای قدرت تفکیک محدوده مخزنی را دارند.

## ۱۱ تحلیل AVO روی مخزن غار

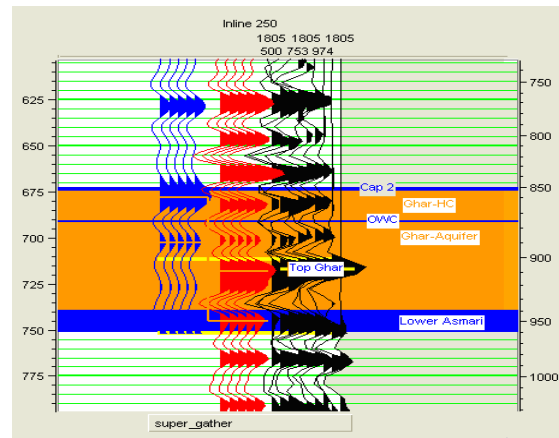
در این مقاله روش‌های مدل‌سازی مستقیم، جانشینی شاره، استخراج نشانگرهای گوناگون و ترسیم کراس پلات که در تحلیل AVO مطرح است روی مخزن ماسه‌سنگی غار اعمال شده است تا توانایی استفاده از روش AVO در تشخیص هیدروکربن‌های سبک در منطقه شمال غرب خلیج فارس بررسی شود. این تحقیق روی یک خط لرزه‌ای که روی یکی از چاه‌های میدان ابوذر قرار دارد، صورت می‌گیرد. نگارهای چاه‌پیمایی شامل نگار چگالی، سرعت موج S و سرعت موج P که برای مدل‌سازی مستقیم لازم هستند، در این چاه برداشت شده است.

### ۱-۱۱ مدل‌سازی مستقیم

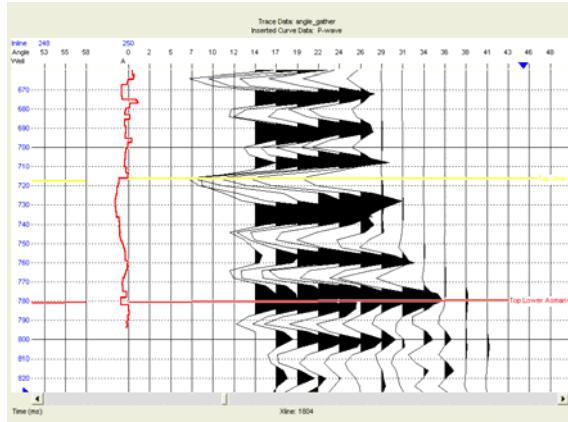
مدل‌سازی AVO به منظور مشخص ساختن چگونگی تغییرات دامنه با دورافت و مشخص کردن پارامترهای ایجاد کننده این تغییرات صورت می‌گیرد. با کمک نگارهای موجود و با استفاده از معادله زوپریتس و ردیابی پرتو (Ray Tracing)، لرزه‌نگاشت مصنوعی حاصل از چاه تولید می‌شود. به منظور از بین بردن اسپایک‌های شدید در نگارهای چاه‌پیمایی از یک فیلتر مدين (Median) استفاده شده است و همچنین نگارها در محدوده‌های ۵ متري بلوكه‌بندی می‌شوند. بعد از اینکه لرزه‌نگاشت مصنوعی اولیه ایجاد شد، بازتاب‌های مشخص روی داده لرزه‌ای واقعی و لرزه‌نگاشت مصنوعی چاه مقایسه می‌شود. بازتاب مربوط به مرز بالایی ماسه‌سنگ غار که روی داده‌های لرزه‌ای به خاطر قطیدگی منفی داده‌ها به صورت قله نمایان است، در مرز پایین تری نسبت به بازتاب مربوط، روی لرزه‌نگاشت مصنوعی چاه قرار دارد. برای بالا بردن ضریب همبستگی، بازتاب‌های مشخص روی لرزه‌نگاشت مصنوعی جایه‌جا می‌شود. (شکل ۳). بعد از این مرحله، موجک مناسب با روش همبستگی چاه و داده لرزه‌ای استخراج می‌شود که با استفاده از آن، لرزه‌نگاشت



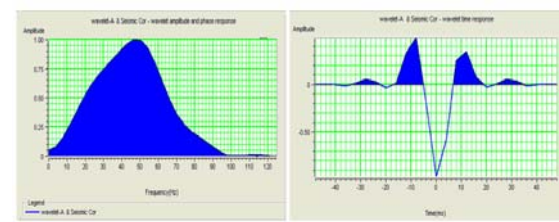
شکل ۶. منحنی AVO ( $R_p$ ) نسبت به دورافت در مرز بالای سازند غار که ناهنجاری AVO رده نوع چهارم را نشان می‌دهد.



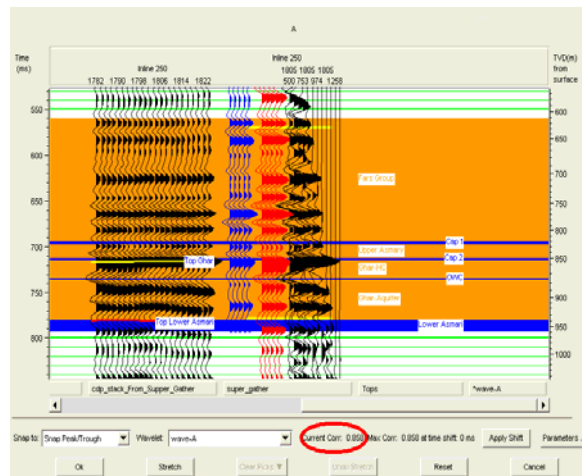
شکل ۳. جابه‌جا کردن افق‌های مشخص روی داده لرزه‌ای واقعی و لرزه‌نگاشت مصنوعی به منظور افزایش تطابق بین چاه و داده لرزه‌ای (لرزه‌نگاشت سرخ‌رنگ) مربوط به داده لرزه‌ای واقعی و آبی‌رنگ مربوط به چاه است.



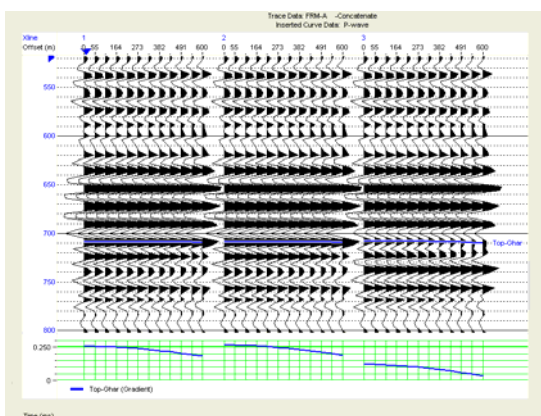
شکل ۷. نمایش داده‌های لرزه‌ای در حوزه زاویه که نشان می‌دهد، دامنه‌ها با افزایش زاویه در مرز بالای ماسه‌سنگ غار کاهش می‌یابند (ناهنجاری AVO رده نوع چهارم).



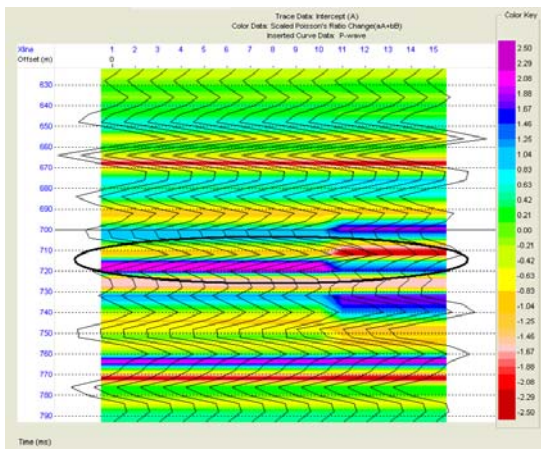
شکل ۴. موجک استخراج شده از تطابق بین چاه و داده لرزه‌ای واقعی (در حوزه زمان و بسامد).



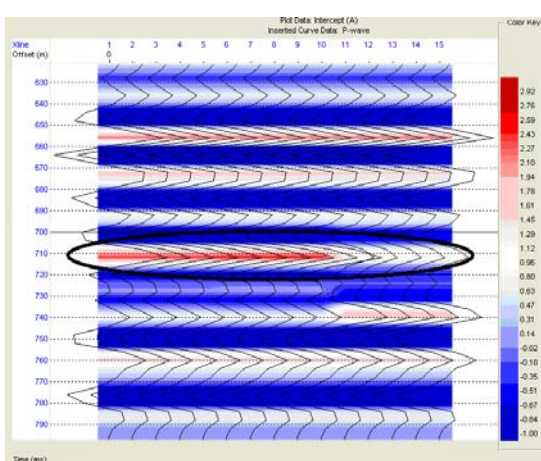
شکل ۵. تطابق ایجاد شده با ضریب تطابق بیش از ۸۵ درصد (بیضی سرخ‌رنگ) بین لرزه‌نگاشت مصنوعی و داده لرزه‌ای بعد از جابه‌جای افق‌ها و استخراج موجک مناسب از راه تطابق چاه با داده لرزه‌ای (لرزه‌نگاشت سرخ‌رنگ) مربوط به داده لرزه‌ای واقعی و آبی‌رنگ مربوط به چاه است.



شکل ۸. لرزه‌نگاشتهای مصنوعی چاه در سه حالت متفاوت که بهتر ترتیب از چپ به راست مریبوط به حالت واقعی موجود، حالت اشباع ۸۰ درصد گاز و ۲۰ درصد آب و حالت اشباع ۱۰۰ درصد آب است. منحنی‌های زیر هر لرزه‌نگاشت تغییرات دامنه نسبت به دورافت را نشان می‌دهند.



شکل ۹. نشانگر تغییرات نسبت پواسون که نسبت به تغییر شاره حساسیت زیادی دارد.



شکل ۱۰. نشانگر تقاطع که نسبت به تغییر شاره حساسیت زیادی دارد.

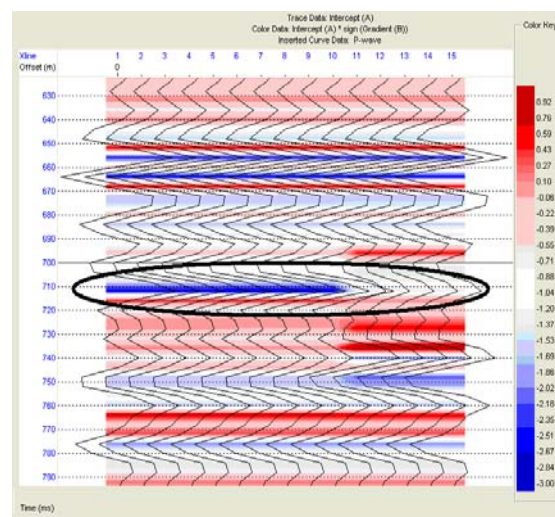
نگارهای سرعت موج P، سرعت موج S و چگالی در سه حالت متفاوت (حالت واقعی موجود، حالت اشباع ۱۰۰ درصد گاز و حالت اشباع ۸۰ درصد گاز و ۲۰ درصد آب) محاسبه و لرزه‌نگاشت مصنوعی مربوط به سه حالت محاسبه شد. شکل ۸ CDP‌های مصنوعی برای چاه را در سه حالت شاره متفاوت نشان می‌دهد. از چپ به راست به ترتیب مریبوط به حالت واقعی موجود، حالت ۲۰ درصد آب و ۸۰ درصد گاز و حالت ۱۰۰ درصد آب است. منحنی‌های زیر هر CDP، تغییرات دامنه نسبت به دورافت را نشان می‌دهند. حالت واقعی موجود بسیار نزدیک به حالت ۲۰ درصد آب و ۸۰ درصد گاز است ولی با استفاده از تغییراتی که در نگار چگالی در حالت ۲۰ درصد آب و ۸۰ درصد گاز نسبت به حالت واقعی موجود ایجاد می‌شود (کاهش در چگالی)، می‌توان نتیجه گرفت که مرز بالای مخزن غار دارای گاز با درجه اشباع کمتر از ۸۰ درصد است. تغییراتی که در نگارها در حالت‌های متفاوت ایجاد می‌شود به شرح زیر است:

حال ۱۰۰٪ اشباع آب: نگار موج S تغییر نکرده است، نگار موج P سرعت بیشتر و نگار چگالی نیز مقدار بیشتری را نشان می‌دهد.

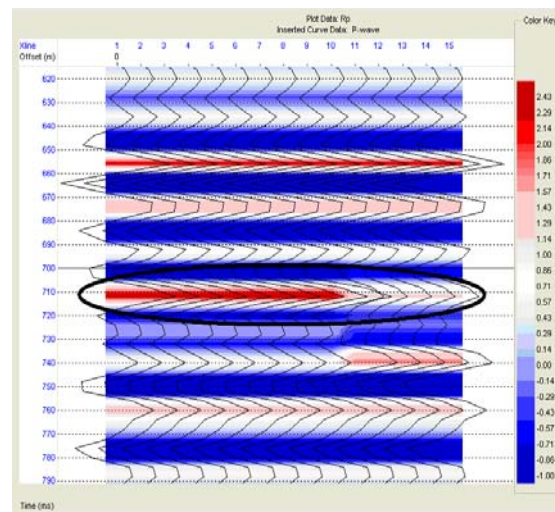
حال ۲۰٪ اشباع آب و ۸۰٪ اشباع گاز: نگار موج S تغییر نکرده است، نگار موج P تغییر نکرده است و نگار چگالی مقدار کمتری را نشان می‌دهد.

در ادامه نشانگرهای گوناگون روی لرزه‌نگاشتهای حاصل از مدل‌سازی جانشینی شاره، استخراج شده است تا بهترین نشانگرها که متأثر از شاره بوده‌اند و قادر به تشخیص مرز بالایی مخزن غار هستند، مشخص شوند. از بین نشانگرهای استخراج شده، نشانگر تغییرات ضربی پواسون، نشانگر تقاطع، نشانگر حاصل ضرب تقاطع در علامت گرادیان (A\*SignB) و نشانگر ضربی بازتاب موج P بیشتر متأثر از شاره بوده‌اند و مرز بالایی مخزن غار را مشخص می‌کنند (شکل‌های ۹ تا ۱۲).

از بین نشانگرهای استخراج شده، نشانگر تقاطع و نشانگر تغییرات نسبت پواسون محدوده مخزن را به خوبی تشخیص می‌دهند. در شکل ۱۳ نشانگر تقاطع روی مقطع تقاطع نشان داده شده است. لازم به ذکر است که به دلیل اینکه قطبیدگی داده‌های لرزه‌ای مورد استفاده معکوس است، نشانگرهای به دست آمده نیز دارای قطبش معکوس هستند و با اینکه مرز بالای ماسه‌سنگ غار از نوع ناهنجاری AVO رده چهارم (تقاطع منفی و گرادیان مثبت) است، ولی روی مقطع تقاطع مقدار آن مثبت است که دلیل آن قطبش معکوس داده‌های لرزه‌ای هست. همچنین در شکل ۱۴ مقطع تغییرات ضرب پواسون نشان داده شده که در مرز بالای مخزن غار بیشترین تغییرات را دارد و به خوبی قادر به تشخیص محدوده مخزن است. نشانگر گرادیان نیز در شکل ۱۵ نشان داده شده است که روی آن مرز بالای ماسه‌سنگ غار مقداری منفی است. به کمک نشانگرهای تقاطع و گرادیان می‌توان نوع ناهنجاری AVO را مشخص کرد. مرز بالای ماسه‌سنگ غار روی مقطع تقاطع، مقدار مثبت و روی مقطع گرادیان مقدار منفی دارد که با توجه به اینکه قطبیدگی داده‌های مورد استفاده معکوس است (موجک با قطبیدگی منفی)، روی مقاطع نرمال علامت آنها معکوس می‌شود (تقاطع منفی و گرادیان مثبت) که نشان‌دهنده ناهنجاری AVO رده چهارم است. به منظور تشخیص راحت تر ناهنجاری‌ها روی مقاطع نشانگرها بهتر است تا مقیاس رنگی تغییر داده شود و نقاط ناهنجار که دارای مقادیر بیشترین و یا کمترین هستند روی مقاطع بهتر نمایان شوند. شکل‌های ۱۶ و ۱۷ مقاطع تقاطع و گرادیان را با تغییر مقیاس رنگی نشان می‌دهند. روی این مقاطع مرز بالای مخزن غار راحت‌تر قابل تفکیک است.

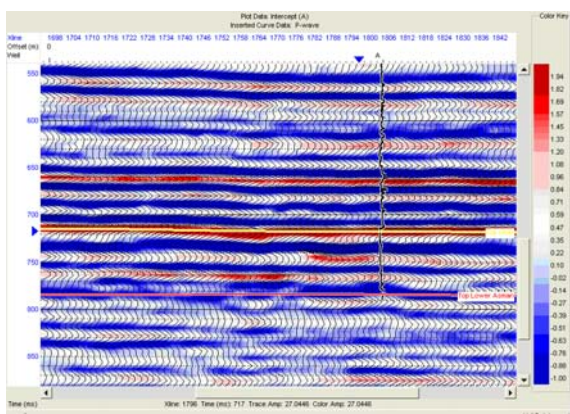


شکل ۱۱. نشانگر تقاطع در علامت گرادیان که نسبت به تغییر شاره حساسیت زیادی دارد.

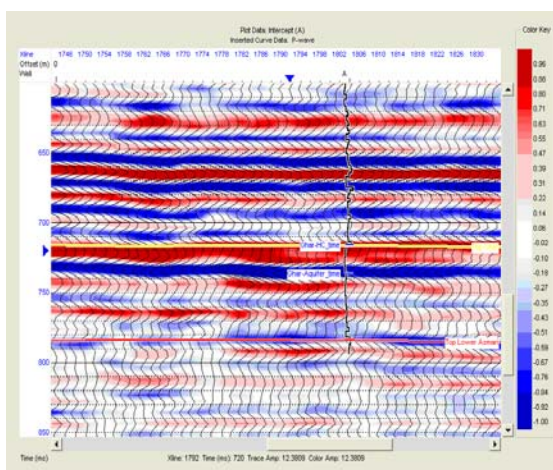


شکل ۱۲. نشانگر ضربی بازتاب موج P که نسبت به تغییر شاره حساسیت زیادی دارد.

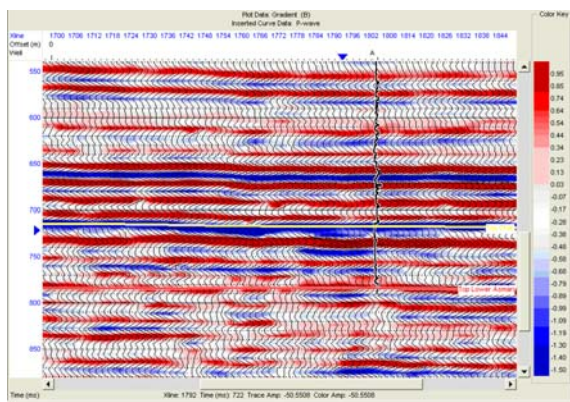
۱۳ بررسی نشانگرهای AVO روی داده‌های لرزه‌ای مقطع زمانی نشانگرهای AVO با استفاده از داده‌های لرزه‌ای واقعی استخراج شده است تا از آنها برای تشخیص بهتر ناهنجاری‌های AVO استفاده شود. از جمله این نشانگرهای گرادیان (A)، تقاطع (B)، ضربی بازتاب موج S (Rs)، ضربی بازتاب موج P (Rp) و تغییرات نسبت پواسون هستند.



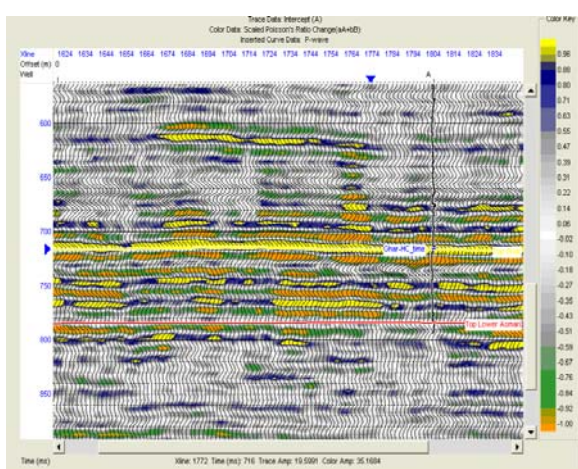
شکل ۱۶. نشانگر تقاطع در حالتی که مقیاس رنگی تغییر داده شده است.



شکل ۱۳. نشانگر تقاطع روی مقطع تقاطع.



شکل ۱۷. نشانگر گرادیان در حالتی که مقیاس رنگی تغییر داده شده است.

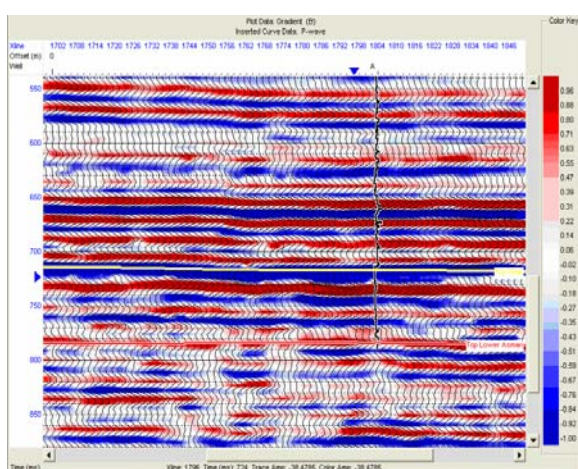


شکل ۱۴. نشانگر تغییرات نسبت پواسون روی مقطع تقاطع که محدوده مخزن و مرز بین آب و نفت را به خوبی تشخیص می‌دهد.

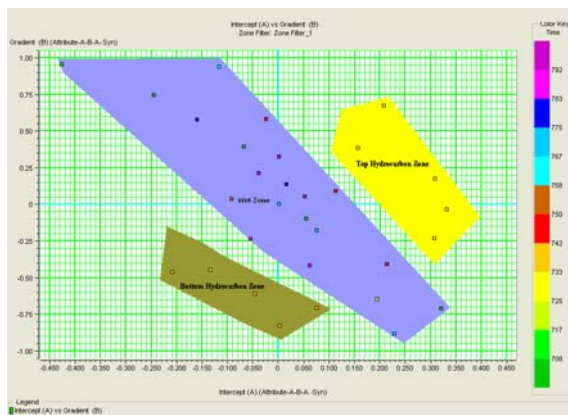
#### ۱۴ روش کراس پلات

**الف)** کراس پلات تقاطع نسبت به گرادیان با استفاده از لرزه‌نگاشت مصنوعی حاصل از چاه

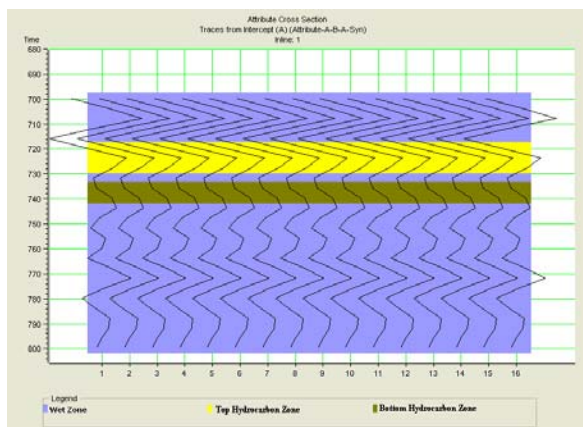
کراس پلات ناشی از داده‌های تقاطع نسبت به داده‌های گرادیان را می‌توان در تفسیر ناهنجاری‌های AVO به کار برد. این روش، ابزاری تشخیصی برای دسته‌بندی پاسخ‌های AVO و تشخیص رسوبات هیدروکربوری است. با مرتبط کردن پارامترهای فیزیک سنگ، مدل‌سازی AVO و رسم کراس پلات، می‌توان قطیدگی ناهنجاری‌های AVO را تحلیل کرد. کراس پلات در اوخر ۱۹۹۰، بر مبنای طرح رادرفورد و ویلیامز (۱۹۸۹) توسعه یافت. تحت شرایط گوناگون زمین‌شناسی، مقادیر گرادیان و تقاطع در ماسه‌های آبدار و شیل از روند مشخص زمینه‌ای پیروی



شکل ۱۵. نشانگر گرادیان روی مقطع گرادیان.



شکل ۱۸. کراس پلات تقاطع نسبت به گرادیان به دست آمده از لرزه‌نگاشت مصنوعی حاصل از چاه. محدوده زردرنگ مربوط به زون هیدروکربوری بالای مخزن، محدوده قهوه‌ای رنگ مربوط به زون هیدروکربوری پایین مخزن و بالای زون آبده و محدوده آبی رنگ مربوط به زون آبدار است.



شکل ۱۹: تفکیک زون‌های آبدار (رنگ آبی) و هیدروکربین دار براساس کراس پلات تقاطع نسبت به گرادیان به دست آمده از لرزه‌نگاشت مصنوعی حاصل از چاه که محدوده زرد مربوط به زون هیدروکربنی بالای مخزن و محدوده قهوه‌ای مربوط به زون هیدروکربنی پایین مخزن و بالای زون آبده است. محدوده بین دو زون هیدروکربین دار، در حکم زون شیلی در نظر گرفته می‌شود.

ب) کراس پلات تقاطع نسبت به گرادیان با استفاده از داده‌های لرزه‌ای واقعی  
کراس پلات‌ها ابزار قدرتمندی برای تفکیک زون‌های گوناگون از لحاظ شاره و سنجشناصی‌اند.  
برای به دست آوردن نتایج دقیق‌تر و شناسایی

می‌کند. بی‌هنجاری AVO به صورت انحراف از این روند زمینه مشخص می‌شود که ممکن است مربوط به فاکتورهای سنجشناصی یا حضور هیدروکربین باشد.

روش کراس پلات برای تفکیک شاره‌های محدوده مخزن روی داده‌های واقعی و لرزه‌نگاشت حاصل از چاه عملی می‌شود. روی لرزه‌نگاشت مصنوعی در محدوده مخزن غار، یک پنجره زمانی به ضخامت ۱۰۰ میلی ثانیه در نظر گرفته می‌شود تا از نقاط مربوط به این محدوده برای رسم کراس پلات تقاطع نسبت به گرادیان استفاده شود. شکل ۱۸ کراس پلات به دست آمده را نشان می‌دهد. همان‌طور که در شکل مشخص است، اکثر نقاط به دست آمده، روندی آبدار را نشان می‌دهند (در جهت ربع دوم و چهارم) و برخی نیز در ربع اول و سوم قرار گرفته‌اند که مربوط به نواحی هیدروکربنی هستند. روی کراس پلات به دست آمده محدوده آبی رنگ مربوط به نقاط بالای مخزن که دارای محدوده زردرنگ مربوط به نقاط بالای مخزن که دارای هیدروکربن سبک (احتمالاً گاز) هستند و محدوده قهوه‌ای رنگ مربوط به نقاط پایین مخزن در محدوده هیدروکربوری‌اند که به احتمال زیاد مربوط به محدوده نفت‌دار هستند. قابل ذکر است که با تغییر قطیدگی لرزه‌نگاشت مصنوعی، نواحی زردرنگ و قهوه‌ای رنگ با یکدیگر جای‌جا می‌شوند. با جدا کردن زون‌های متفاوت بر روی کراس پلات، می‌توان روی لرزه‌نگاشت مصنوعی نیز محدوده‌های تفکیک شده را نمایش داد. شکل ۱۹ زون‌های تفکیک شده را روی لرزه‌نگاشت مصنوعی نشان می‌دهد. همان‌طور که در شکل مشاهده می‌شود، بین زون‌های هیدروکربوری تفکیک شده، یک زون جداگانه وجود دارد که نقاط آن روی کراس پلات در محدوده آبی رنگ قرار گرفته است و با توجه به اینکه این زون (به علت قرار گیری بین هیدروکربور) نمی‌تواند زون آبدار باشد، در حکم زون شیلی در نظر گرفته می‌شود.

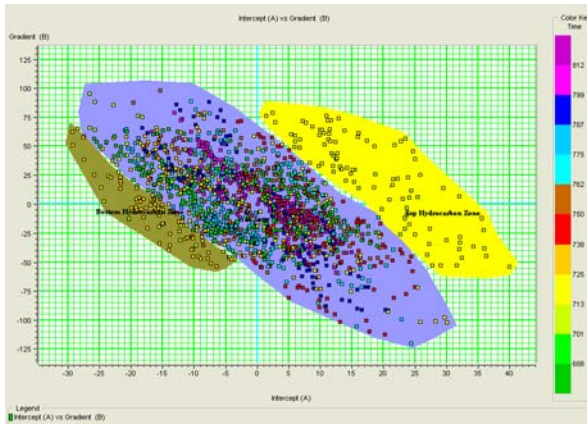
جدول ۱. اطلاعات مربوط به لایه‌های حفاری شده در محدوده مخزن در چاه مورد بررسی (شرکت ان آی او او سی، ۲۰۰۲).

جنس	نحوه خدمات (متر)	عمق از سطح دریا (متر)	لایه
سنگ رس، آنفیزیت، شبل و دلویومت بین لایه ای	۲۹	۶۱۳	سازند گچ‌سازان
آبردیت و شبل	۶	۸۲۱	پوش سنگ اول
دولومیت نفتی و منخلخل، شبل بین لایه ای	۲۴	۸۲۷	بخش A (آسمازی فوکالی)
	۵	۸۵۱	بخش B (آسمازی شبکه)
آسمازی و شبل	۸۴	۸۵۶	بخش C (آسمازی سنگ غلی)
دولومیت های بین لایه ای	۲۱	۹۴۰	بخش E (آسمازی تعنی)

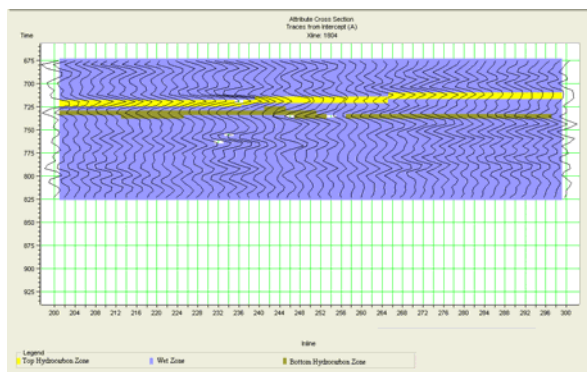
محدوده دقیق مخزنی، رسم کردن کراس پلات‌ها روی خط لرزه‌ای در محدوده کراس لاین ۲۰۰ تا ۳۰۰ صورت گرفته است. کراس پلات موردنظر در یک پنجراه زمانی ۱۵۰ میلی ثانیه‌ای که نسبت به زمان ۷۵۰ میلی ثانیه (محدوده زمانی مرز بالای ماسه‌سنگ غار) حالت تقارن دارد، ترسیم شده است.

این کراس پلات توانایی زیادی در تفکیک محدوده مخزنی دارد. با توجه به نقاط به دست آمده، سه زون روی کراس پلات مشخص شده است که این زون‌ها روی مقطع لرزه‌ای نیز تفکیک شده‌اند (شکل‌های ۲۰ و ۲۱). این زون‌ها شامل زون آبدارند روندشان در جهت نیمساز ربع اول و سوم قرار دارد (ناحیه بارنگ آبی)، زون هیدروکرین دار اول که در قسمت بالای مخزن قرار دارد (ناحیه بارنگ زرد) و زون هیدروکرین دار دوم که در قسمت پایین مخزن و بالای زون آبدار قرار دارد (ناحیه بارنگ قهوه‌ای). نتایج به دست آمده از این کراس پلات کاملاً با نتایج به دست آمده از کراس پلات مربوط به لرزه‌نگاشت چاه همخوانی دارد.

شکل ۲۱، زون‌های تفکیک شده را روی مقطع لرزه‌ای نشان می‌دهد. در اینجا نیز همانند کراس پلات مربوط به چاه، بین دو زون هیدروکرین دار روی مقطع لرزه‌ای، محدوده‌ای قرار گرفته است که نقاط آن روی کراس پلات در قسمت آبی رنگ واقع شده‌اند. از این رو این زون در حکم زون شیلی در محدوده مخزن در نظر گرفته شود. این نتیجه‌گیری با اطلاعات حاصل از سنگ‌شناسی ردیف‌های حفاری شده در چاه مورد بررسی نیز مطابقت دارد (جدول ۱) (شرکت ان آی او او سی، ۲۰۰۲).



شکل ۲۰. کراس پلات تقاطع نسبت به گرادیان و تفکیک سه زون مختلف روی آن. محدوده آبی مربوط به زون آبدار، محدوده زرد مربوط به زون هیدروکرین دار بالای مخزن و محدوده قهوه‌ای مربوط به زون هیدروکرین دار پایین مخزن است.



شکل ۲۱. تفکیک زون‌های آبدار (رنگ آبی) و هیدروکرین دار براساس کراس پلات تقاطع نسبت به گرادیان که محدوده زرد مربوط به زون هیدروکرینی بالای مخزن و محدوده قهوه‌ای مربوط به زون هیدروکرینی پایین مخزن و بالای زون آبدار است. محدوده بین دو زون هیدروکرین دار، در حکم زون شیلی در نظر گرفته می‌شود.

## ۱۵ نتیجه‌گیری

هدف از تدوین این مقاله ارزیابی توانایی‌های روش AVO در ارزیابی منابع هیدروکربن در منطقه شمال غرب خلیج فارس با استفاده از داده‌های لرزه‌ای پیش از اباراش است. نتایج این تحقیق به خوبی توانایی روش AVO را در توصیف منابع هیدروکربوری آشکار می‌سازد. بدین‌منظور در میدان ابوذر، با استفاده از نگاره‌ای چاه، مدل‌سازی مستقیم صورت گرفت و لرزه‌نگاشت مصنوعی ایجاد گردید. با تطابق لرزه‌نگاشت ایجاد شده با داده‌های لرزه‌ای واقعی، منحنی‌های زمان-عمق چاه تصحیح و داده‌های لرزه‌ای واسنجی شد. در ادامه با تولید منحنی AVO، مشخص شد که ناهنجاری مربوط به بالای مخزن غار، از رده چهارم است.

در مرحله مدل‌سازی مستقیم، نگاره‌ای چاه‌پیمایی به صورت مصنوعی با استفاده از مدل‌سازی جانشینی شاره تولید شد و به کمک لرزه‌نگاشت‌های مصنوعی و استخراج نشانگرهای متفاوت در سه حالت متفاوت شاره‌ها (حالات واقعی موجود، حالت ۲۰ درصد آب و ۸۰ درصد گاز و حالت ۱۰۰ درصد آب)، بهترین نشانگرها که متأثر از شاره قادر به تشخیص مرز بالای مخزن غار هستند، مشخص شدند. این نشانگرها شامل: نشانگر تقاطع، نشانگر تغییرات ضربی پواسون، نشانگر ضربی بازتاب موج P و نشانگر حاصل ضرب تقاطع در عالم گرادیان هستند.

در تحقیق حاضر نشانگرهای AVO روی داده لرزه‌ای واقعی به کمک روش‌های گوناگون، بهترین نشانگرها که قادر به تشخیص محدوده مخزنی بودند، مشخص شدند که با نتایج به دست آمده از مدل‌سازی مستقیم نیز همخوانی خوبی داشتند. با کمک نشانگرهای متفاوت، کراس پلات‌های تقاطع نسبت به گرادیان در محدوده مخزن رسم شد و به کمک آنها، دو محدوده هیدروکربنی در بالا و پایین مخزن تفکیک شد که با نتایج به دست آمده

از کراس پلات گرادیان نسبت به تقاطع حاصل از لرزه‌نگاشت مصنوعی چاه در محدوده مخزن، مطابقت داشتند.

## تشکر و قدردانی

با تشکر از مدیریت طرح‌های اکتشافی شرکت نفت فلات قاره ایران و به خصوص بخش پژوهش و توسعه آن شرکت که با اجرای این طرح موافقت کردند و داده‌های موردنیاز را در اختیار قرار دادند.

## منابع

- Castagna, J. P., Batzle, M. L. and Kan, T. K., 1993, Rock Physics: The Link Between Rock Properties and AVO Response, SEG Geophysics, 135- 171.
- Castagna, J. P. and Swan, H. W., 1997, Principles of AVO Crossplotting, The Leading Edge **16**(4), 337-342.
- Coulombe, C. A., 1993, Amplitude-Versus-Offset Analysis Using Vertical Seismic Profiling and Well Log Data, University of Calgary, Department of Geology and Geophysics, M.Sc. Thesis.
- Jason Geosystems (UK) Ltd. 2003, Aboozar Field 3D Seismic Interpretation, Fugro Geoscience Division.
- Russell, B. H., Hedlin, K., Hilterman, F. G. and Lines, L. R., 2001, Fluid-property discrimination with AVO: A Biot-Gassmann perspective, CREWES Research Report, **13**, 403-419.
- Russell, B., 2003, AVO Seismic Technology, Petroleum Technology Transfer Council (PTTC).
- Rutherford, S. R. and Williams, R. H., 1989, Amplitude Versus Offset Variation in Gas Sands, Geophysics, **54**, 686-688.
- NIOC Company, 2002, Drilling Report-Well A.